

Сверхпроводимость при нормальном давлении в кристаллах

κ -(BEDT-TTF)₂Cu[N(CN)₂]Cl

Э. Б. Ягубский, Н. Д. Кущ, А. В. Казакова, Л. И. Буравов, В. Н. Зверев¹⁾, А. И. Манаков⁺, С. С. Хасанов⁺, Р. П. Шибаева⁺

Институт проблем химической физики РАН, 142432 Черноголовка, Московская обл., Россия

+ Институт физики твердого тела РАН, 142432 Черноголовка, Московская обл., Россия

Поступила в редакцию 16 июня 2005 г.

Получены монокристаллы катион-радикальной соли κ -(BEDT-TTF)₂Cu[N(CN)₂]Cl, которые имеют металлические свойства и переходят в сверхпроводящее состояние с $T_c = 11.5$ К при нормальном давлении.

PACS: 61.10.Nz, 72.80.Le, 74.70.Kn

Изоструктурные катион-радикальные соли семейства κ -(BEDT-TTF)₂Cu[N(CN)₂]X, где BEDT-TTF – π -органический донор бис(этилендитио)тетратиафульвален, X = Br, Cl, I, Br_{1-x}Cl_x, Br_{1-x}I_x, были предметом многочисленных исследований в последние годы [1–14]. Они проявляют широкое разнообразие электронных свойств, несмотря на подобие их кристаллических структур. Это слоистые материалы, построенные из проводящих катион-радикальных слоев BEDT-TTF, чередующихся с диэлектрическими слоями однозарядных анионов {Cu[N(CN)₂]X}⁻ (рис.1a). Анионный слой состоит из полимерных зигзагообразных цепочек, вытянутых вдоль направления **a** и включающих плоский трехкоординированный атом Cu¹⁺ с двумя мостиковыми дицианамидными группами [(NC)₂N(CN)]⁻ и терминальным атомом галогена X. Катион-радикальный слой сформирован из пар молекул BEDT-TTF со средним зарядом +0.5 на молекулу, упакованных в кристалле перпендикулярно друг к другу (рис.1b). Перекрывание молекулярных орбиталей донорных молекул в слоях приводит к образованию широких энергетических зон для электронов в кристалле. Согласно теоретическим расчетам зонной структуры [1–3], эти материалы должны быть металлами. Было установлено, что катион-радикальные соли с X=Br, Br_{0.5}Cl_{0.5} и Br_{0.7}Cl_{0.3} являются органическими сверхпроводниками при нормальном давлении с $T_c = 11.6$ К [2, 5], в то время как соли с X= Cl и Br_{0.9}I_{0.1} [4, 5] испытывают переход в сверхпроводящее состояние при давлении 0.3 кбар с $T_c = 12.8$ и 3.5 К, соответственно, а соль с X=I переходит в сверхпроводящее

состояние при давлении 1.2 кбар с $T_c \approx 8$ К [6, 7]. При нормальном давлении катион-радикальная соль с X = Cl (обозначим ее как “ κ -Cl”) сохраняет полупроводниковые свойства до температуры ниже 100 К, в районе 40 К происходит переход в диэлектрическое состояние, который идентифицируется как антиферромагнитный переход, а ниже 22 К в этих кристаллах обнаружен слабый ферромагнетизм [4, 8, 9]. Когда давление варьируется выше нескольких сот бар, кристаллы κ -Cl соли имеют богатую фазовую диаграмму с парамагнитной диэлектрической, антиферромагнитной диэлектрической, металлической и сверхпроводящей фазами [8–12]. Кроме того, для этих кристаллов методами рентгеновской дифракции было установлено существование двух структурных фазовых переходов при высоком давлении и комнатной температуре: обратимый переход с понижением симметрии при давлении 8.8 кбар и второй переход – при 12 кбар, характеризующийся исчезновением брегговских рефлексов и, возможно, связанный с аморфизацией под давлением [13].

В настоящей работе показано, что ко всему разнообразию свойств Cl – катион радикальной соли добавляются новые интригующие свойства: получены монокристаллы этой соли (обозначим ее как “ κ '-Cl”), которые в отличие от описанного моттовского диэлектрика κ -Cl имеют металлические свойства и переходят в сверхпроводящее состояние с $T_c = 11.5$ К при нормальном давлении. Проведено рентгенструктурное исследование этих кристаллов и изучены их транспортные свойства.

Измерения электросопротивления проводились при переменном токе частоты 20 Гц по четырехконтактной схеме с использованием синхронного

¹⁾e-mail: zverev@issp.ac.ru

Место для тонового рисунка

Рис.1. Структура кристаллов κ -(BEDT-TTF)₂Cu[N(CN)₂]Cl: (a) – вид вдоль слоев, (b) – проводящий катион-радикальный слой

детектора. Образцы имели форму тонких пластин с характерными размерами $1 \times 0.3 \times 0.02$ мм, поверхность которых была ориентирована вдоль проводящих слоев (плоскость ac). На каждой из двух противоположных поверхностей образца с помощью проводящей угольной пасты изготавливались по паре контактов. Сопротивление образца измерялось при пропускании тока как вдоль ($J \parallel (ac)$), так и поперек ($J \parallel b$) проводящих слоев. Величина тока J через образец была фиксирована и не превышала 10 мА. Для экспериментов в магнитном поле использовался сверхпроводящий соленоид, создающий поле до 17 Тл. В контрольных экспериментах исследовалась

также динамическая восприимчивость на частоте 100 кГц.

Анизотропия удельного сопротивления (ρ_b / ρ_{ac}), вычисленная по модифицированному методу Монтгомери [14], для разных образцов лежала в пределах 200–400 при $T = 300$ К и монотонно возрастала при понижении температуры, достигая значений 1000–1400 при $T \approx 15$ К. Температурная зависимость как для продольного, так и для поперечного сопротивлений имела положительную производную во всем диапазоне температур ниже 300 К. Небольшой участок с отрицательной производной возникал лишь при низкой температуре вблизи сверхпроводящего перехода и был ярче выражен на поперечном сопротивлении. Нами было исследовано несколько образцов, полученных в процессе одного синтеза. Результаты, полученные на разных образцах, были схожими. Ниже приведены результаты для одного из них.

На рис.2 представлена зависимость $R(T)$ при пропускании тока вдоль проводящих слоев, а также тем-

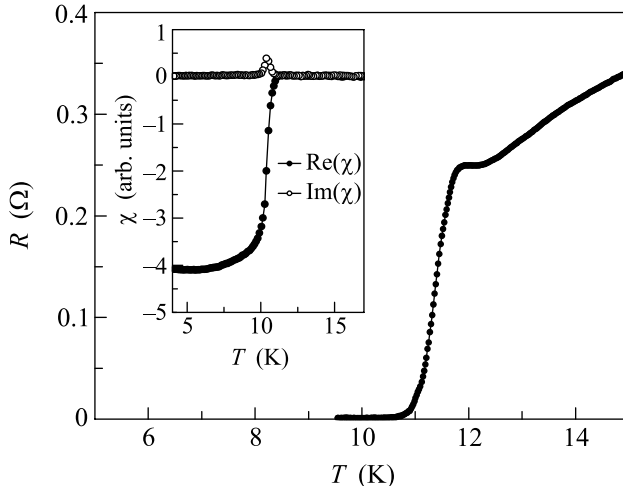


Рис.2. Сверхпроводящий переход на образце κ' -(BEDT-TTF)₂Cu[N(CN)₂]Cl, регистрируемый по температурным зависимостям сопротивления и динамической восприимчивости (на вставке)

пературная зависимость динамической восприимчивости при $T < 15$ К. Как видно из рисунка, на зависимости $R(T)$ наблюдается переход в сверхпроводящее состояние с критической температурой $T_c = 11.5$ К, определенной по середине перехода. На том же образце переход по динамической восприимчивости начинается примерно при 11 К.

Наложение магнитного поля приводило к понижению T_c , при этом в геометрии $J \parallel (ac)$ происходило значительное уширение сверхпроводящего перехода, в то время как при $J \perp (ac)$ переход, практически не

уширяясь, смещался в область более низких температур. По этой причине представленные ниже зависимости $H_{c2}(T)$ были построены при измерениях попечного сопротивления, то есть для случая, когда ток пропускался по нормали к проводящим слоям. Отсутствие заметного уширения в магнитном поле позволяет надеяться, что мы имеем дело с зависимостью $H_{c2}(T)$, а не с “линией необратимости”. На рис.3 зависимость $H_{c2}(T)$ представлена для двух ориентаций

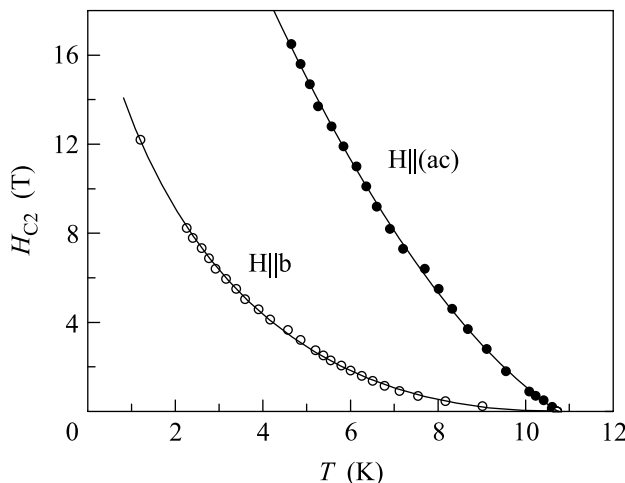


Рис.3. Зависимости $H_{c2}(T)$ для ориентации магнитного поля в плоскости проводящих слоев и по нормали к ним

магнитного поля. Все точки, кроме одной, были получены из кривых $R(T)$ при фиксированных значениях поля H . Последняя точка на нижней кривой получена из кривой $R(H)$ при фиксированной температуре $T = 1.2$ К. Обращает на себя внимание положительная кривизна зависимостей $H_{c2}(T)$, а также тот факт, что при $H \parallel b$ производная dH_{c2}/dT близка к нулю в точке $T = T_c(0)$. Для случая, когда магнитное поле лежит в плоскости (ac), эта производная конечна и равна $dH_{c2}/dT|_{T_c(0)} = -1.36$ Т/К.

Основные кристаллографические данные: кристаллы $(C_{10}H_8S_8)_2Cu[N(CN)_2]Cl$ ромбические, пр. гр. $Pnma$, $a = 12.932(2)$ Å, $b = 29.877(5)$ Å, $c = 8.458(1)$ Å, $V = 3267.8(9)$ Å³, $Z = 4$. Экспериментальный материал 4567 независимых отражений с $I \geq 2\sigma(I)$ был получен на дифрактометре Enraf-Nonius CAD4 (МоКа-излучение, ω -сканирование, $2\theta_{\max} = 50^\circ$, размеры кристалла $0.5 \times 0.2 \times 0.02$ мм, введена поправка на поглощение). Структура определена прямым методом и уточнена МНК в анизотропном приближении до $R_1 = 0.056$. Кристаллы органического металла κ' -Cl имеют почти ту же самую структуру, как и моттовский диэлектрик κ -Cl [4].

Предварительный анализ кристаллической структуры κ' -Cl при комнатной температуре показал следующие различия κ' -Cl и κ -Cl.

1. Установлено, что при комнатной температуре в кристаллах κ -Cl существует некоторый беспорядок в катион-радикальном слое, связанный с равновероятным присутствием двух конформаций (затененной и заторможенной) терминальных этиленовых групп молекулы BEDT-TTF. При низкой температуре происходит полное упорядочение этих групп, и молекула BEDT-TTF имеет только затененную конформацию [15]. В кристаллах κ' -Cl соотношение затененной и заторможенной конформаций равно 0.8:0.2, то есть порция затененного конформера, характерного для низкотемпературного состояния κ -Cl кристаллов, в случае κ' -Cl кристаллов больше даже при комнатной температуре.

2. Объем элементарной ячейки κ' -Cl кристаллов, $V = 3267.8(9)$ Å³, меньше объема κ -Cl кристаллов, $V = 3299(1)$ Å³[4], и даже меньше объема последних, $V = 3285.2(8)$ Å³, при давлении 1.2 кбар [13]. Соответственно все межмолекулярные контакты S...S в проводящем слое короче, что приводит к усилиению межмолекулярных взаимодействий и, как следствие, к увеличению ширины зоны проводимости. Этот эффект эквивалентен химическому сжатию.

3. При уточнении структуры была выявлена неполная заселенность позиции атома меди (дефицит ~ 5%) при полной заселенности позиций других атомов. Это косвенно может свидетельствовать о присутствии в анионном слое Cu²⁺ наряду с Cu¹⁺. И тогда можно предположить, что сверхпроводимость κ' -Cl кристаллов реализуется благодаря допированию носителей в моттовский диэлектрик κ -Cl. Аналогичная ситуация была установлена в случае катион-радикальной соли κ -(BEDT-TTF)₂Cu₂(CN)₃ [16].

В дальнейшем планируется проведение детальных синтетических, структурных и физических исследований с целью проследить связь структура-свойства и выяснить природу сверхпроводящего состояния в этих кристаллах.

Работа частично поддержана проектами Российского фонда фундаментальных исследований: # 03-02-16926, # 04-02-17358, # 05-02-16980, # RFBR-DFG 03-02-04023, а также программой П-28 Президиума РАН.

1. T. Ishiguro, K. Yamaaji, and G. Saito, *Organic Superconductors*, 2nd ed.; Springer Series in Solid State Science, Vol. 88; P. Fulde, Ed.; Springer: Berlin, 1998.
2. A. M. Kini, U. Geiser, H. H. Wang et al., *Inorg. Chem.* **29**, 2555 (1990).

3. H. H. Wang, K. D. Carlson, U. Geiser et al., *Synth. Metals* **41-43**, 1983 (1991).
4. J. M. Williams, A. M. Kini, H. H. Wang et al., *Inorg. Chem.* **29**, 3272 (1990).
5. R. P. Shibaeva, S. S. Khasanov, N. D. Kushch et al., in *Supramolecular Engineering of Synthetic Metallic Materials, Conductors and Magnets*, Eds. J. Veciana, C. Rovira, and D. B. Amabilino, NATO ASI Series C518, Kluwer Academic Publishers, Dordrecht, 1999, p. 409.
6. N. D. Kushch, M. A. Tanatar, E. B. Yagubskii, and T. Ishiguro, *JETP Lett.* **73**, 429 (2001).
7. M. A. Tanatar, T. Ishiguro, S. Kagoshima et al., *Phys. Rev. B* **65**, 064516 (2002).
8. J. E. Schirber, D. L. Overmyer, K. D. Carlson et al., *Phys. Rev. B* **44**, 4666 (1991).
9. U. Welp, S. Fleshler, W. K. Kwok et al., *Phys. Rev. Lett.* **69**, 840 (1992).
10. H. Ito, T. Ishiguro, M. Kubota, and G. Saito, *J. Phys. Soc. Jap.* **65**, 2987 (1996).
11. P. Limelette, P. Wzietek, S. Florens et al., *Phys. Rev. Lett.* **91**, 016401 (2003).
12. F. Kagawa, T. Itou, K. Miyagawa, and K. Kanoda, *Phys. Rev. B* **69**, 064511 (2004).
13. A. J. Schultz, U. Geiser, H. H. Wang et al., *Physica* **208**, 277 (1993).
14. Л. И. Буравов, *ЖТФ* **59**(4), 138 (1989).
15. U. Geiser, A. J. Schultz, H. H. Wang et al., *Physica C* **174**, 475 (1991).
16. T. Komatsu, N. Matsukawa, T. Inoue, and G. Saito, *J. Phys. Soc. Jap.* **65**, 1340 (1996).